

Eingabe: Farbmatisches Reflexions-System NCS11

für Bunnton $h^* = lab^*h = 24/360 = 0.066$

lab^*tch und lab^*nch

D65: Bunnton R
LCH*Ma: 47 92 24
rgb*Ma: 1.0 0.0 0.0

Dreiecks-Helligkeit

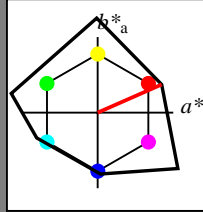
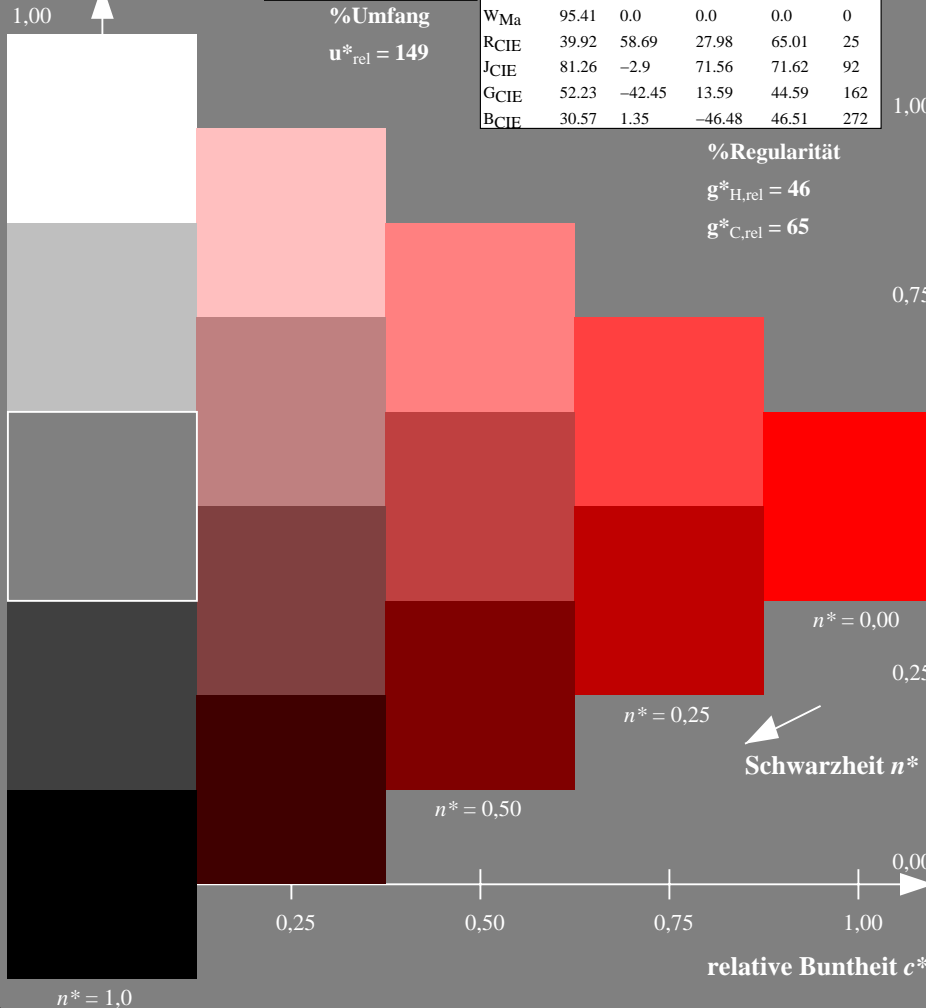


Table with 5 columns: NCS11; adaptierte CIELAB-Daten, L*, a*, b*, C*, h*. Rows include RMa, JMa, GMa, G50BMa, BMa, B50RMa, NMa, WMa, RCIE, JCIE, GCIE, BCIE.

%Regularität

$g^*_{H,rel} = 46$

$g^*_{C,rel} = 65$



Ausgabe: Farbmatisches Reflexions-System MRS18

für Bunnton $h^* = lab^*h = 30/360 = 0.083$

lab^*tch und lab^*nch

D65: Bunnton R
LCH*Ma: 50 77 30
rgb*Ma: 1.0 0.0 0.0

Dreiecks-Helligkeit

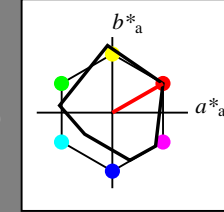
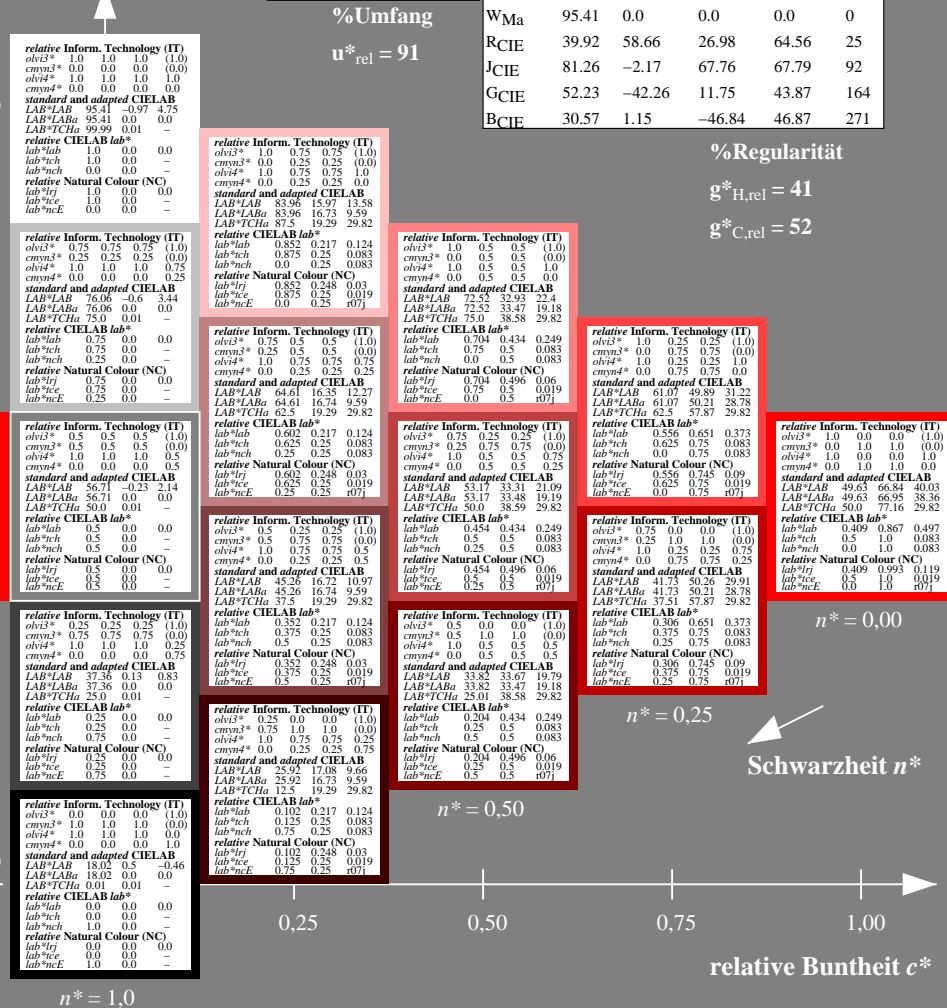


Table with 5 columns: MRS18; adaptierte CIELAB-Daten, L*, a*, b*, C*, h*. Rows include RMa, JMa, GMa, G50BMa, BMa, B50RMa, NMa, WMa, RCIE, JCIE, GCIE, BCIE.

%Regularität

$g^*_{H,rel} = 41$

$g^*_{C,rel} = 52$



TG480-7, 5 stufige Reihen für konstanten CIELAB Bunnton 24/360 = 0.066 (links)

5 stufige Reihen für konstanten CIELAB Bunnton 30/360 = 0.083 (rechts)

BAM-Prüfvorlage TG48; Farbmatrik-Systeme ORS18 & ORS18 input: $olv^* setrgbcolor$

D65: 5stufige Farbreihen und Koordinaten-Daten für 10 Bunntöneoutput: *Startup (S) data dependend*

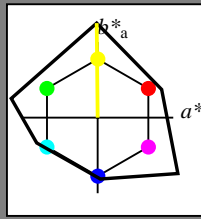
Eingabe: Farbmatisches Reflexions-System NCS11

für Bunnton $h^* = lab^*h = 91/360 = 0.252$

lab^*tch und lab^*nch

D65: Bunnton J
LCH*Ma: 91 125 91
rgb*Ma: 1.0 1.0 0.0

Dreiecks-Helligkeit



NCS11; adaptierte CIELAB-Daten

	$L^*=L^*_a$	a^*_a	b^*_a	$C^*_{ab,a}$	$h^*_{ab,a}$
RMa	47.15	84.64	37.25	92.48	24
JMa	91.37	-1.27	125.03	125.03	91
GMa	63.07	-114.28	25.35	117.06	167
G50B _{Ma}	59.47	-80.6	-33.45	87.28	203
B _{Ma}	49.01	3.65	-81.19	81.28	273
B50R _{Ma}	44.06	106.09	-73.93	129.32	325
N _{Ma}	10.99	0.0	0.0	0.0	0
W _{Ma}	95.41	0.0	0.0	0.0	0
RCIE	39.92	58.69	27.98	65.01	25
JCIE	81.26	-2.9	71.56	71.62	92
GCIE	52.23	-42.45	13.59	44.59	162
BCIE	30.57	1.35	-46.48	46.51	272

%Regularität

$g^*_{H,rel} = 46$

$g^*_{C,rel} = 65$

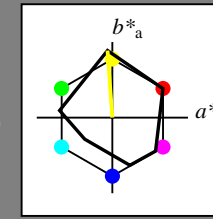
Ausgabe: Farbmatisches Reflexions-System MRS18

für Bunnton $h^* = lab^*h = 94/360 = 0.261$

lab^*tch und lab^*nch

D65: Bunnton J
LCH*Ma: 91 89 94
rgb*Ma: 1.0 1.0 0.0

Dreiecks-Helligkeit



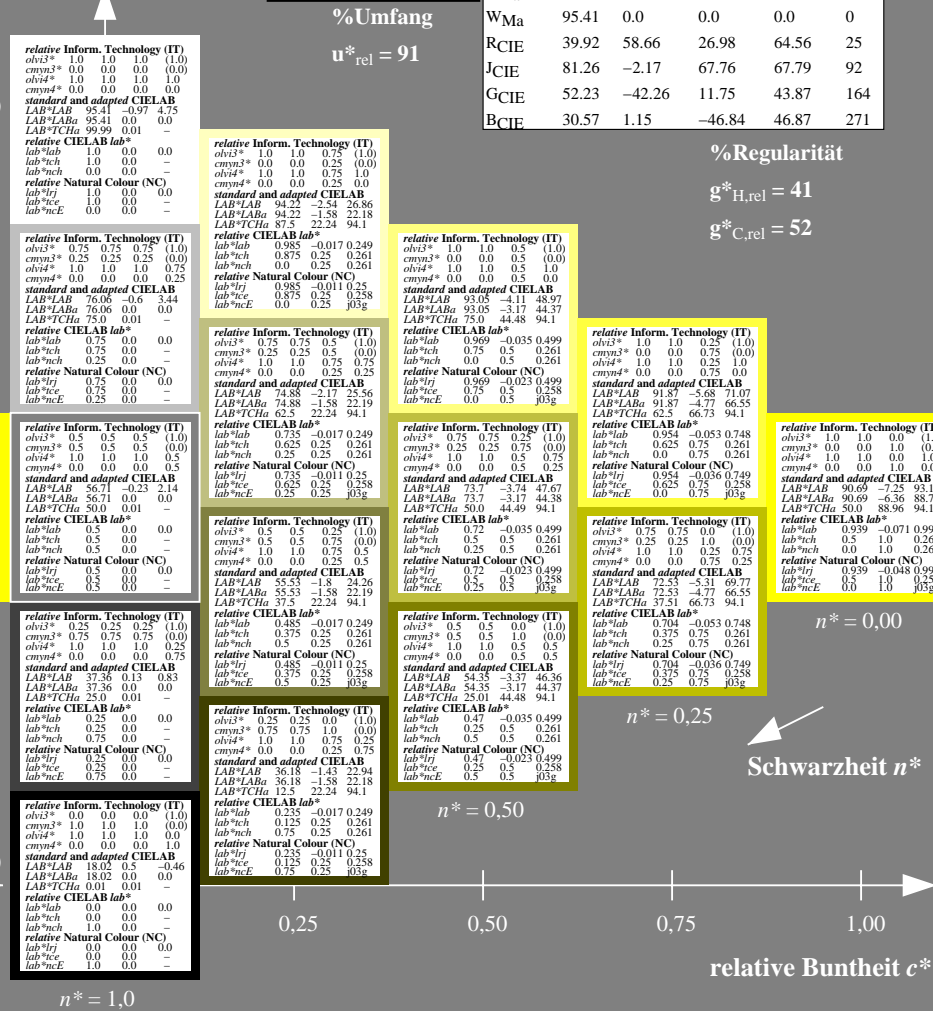
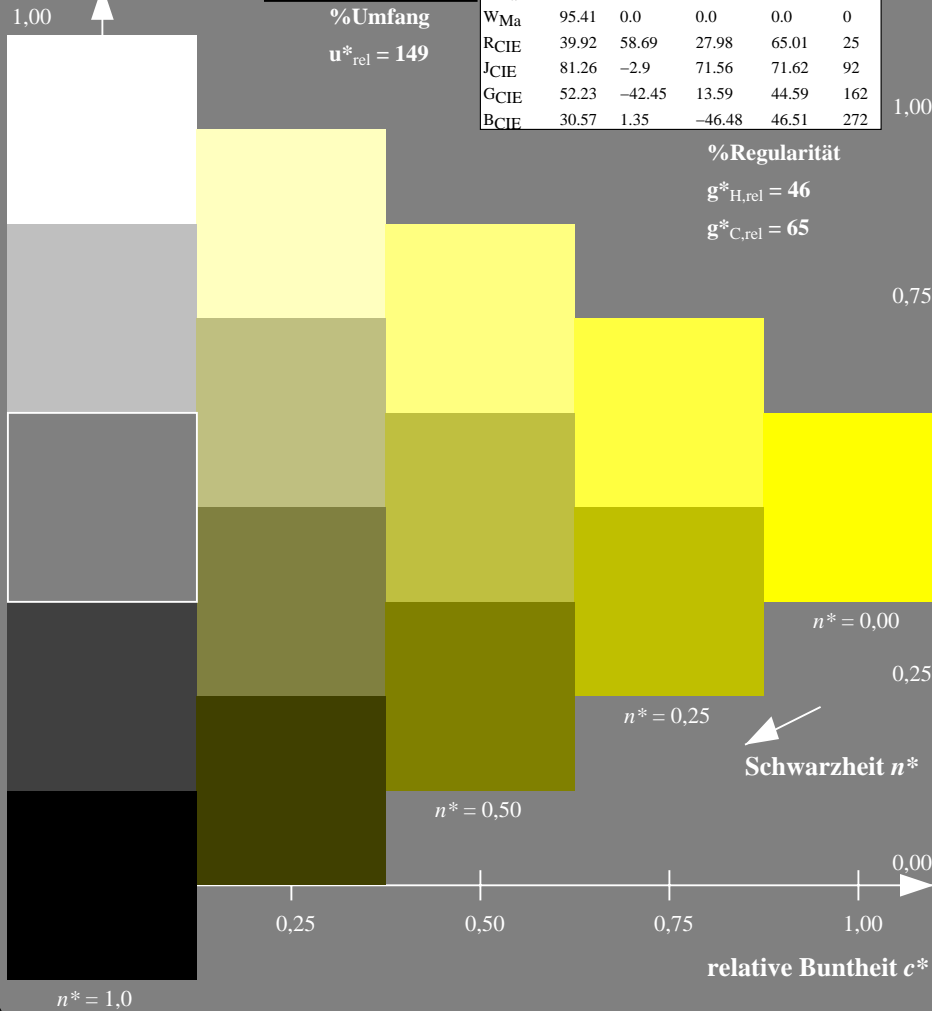
MRS18; adaptierte CIELAB-Daten

	$L^*=L^*_a$	a^*_a	b^*_a	$C^*_{ab,a}$	$h^*_{ab,a}$
RMa	49.63	66.96	38.37	77.18	30
JMa	90.7	-6.36	88.75	88.98	94
GMa	52.11	-69.73	9.44	70.37	172
G50B _{Ma}	45.03	-36.57	-28.47	46.36	218
B _{Ma}	36.65	23.19	-63.05	67.18	290
B50R _{Ma}	34.94	57.17	-44.26	72.31	322
N _{Ma}	18.01	0.0	0.0	0.0	0
W _{Ma}	95.41	0.0	0.0	0.0	0
RCIE	39.92	58.66	26.98	64.56	25
JCIE	81.26	-2.17	67.76	67.79	92
GCIE	52.23	-42.26	11.75	43.87	164
BCIE	30.57	1.15	-46.84	46.87	271

%Regularität

$g^*_{H,rel} = 41$

$g^*_{C,rel} = 52$



TG480-7, 5stufige Reihen für konstanten CIELAB Bunnton 91/360 = 0.252 (links)

5 stufige Reihen für konstanten CIELAB Bunnton 94/360 = 0.261 (rechts)

BAM-Prüfvorlage TG48; Farbmeter-Systeme ORS18 & ORS18 input: $olv^* setrgbcolor$

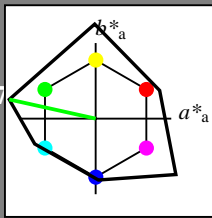
D65: 5stufige Farbreihen und Koordinaten-Daten für 10 Bunttöneoutput: Startup (S) data dependend

Eingabe: Farbmatisches Reflexions-System NCS11

für Buntton $h^* = lab^*h = 167/360 = 0.465$
 lab^*tch und lab^*nch

D65: Buntton G
LCH*Ma: 63 117 167
rgb*Ma: 0.0 1.0 0.0

Dreiecks-Helligkeit



%Umfang

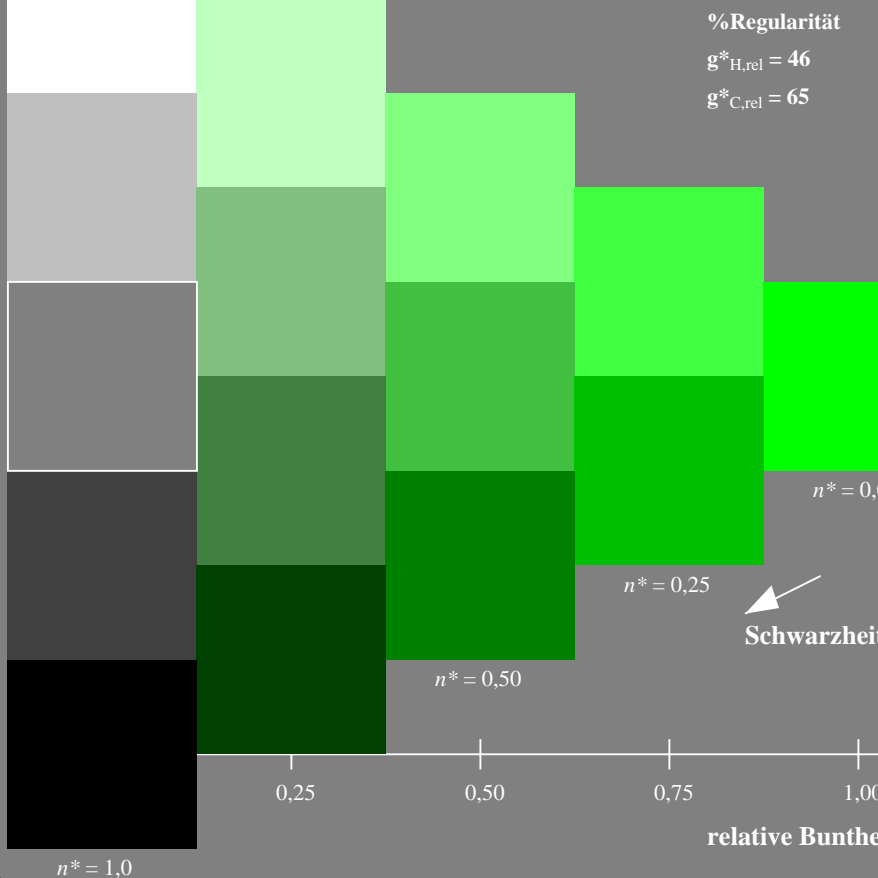
$u^*_{rel} = 149$

	$L^* = L^*_a$	a^*_a	b^*_a	$C^*_{ab,a}$	$h^*_{ab,a}$
RMa	47.15	84.64	37.25	92.48	24
JMa	91.37	-1.27	125.03	125.03	91
GMa	63.07	-114.28	25.35	117.06	167
G50B _{Ma}	59.47	-80.6	-33.45	87.28	203
B _{Ma}	49.01	3.65	-81.19	81.28	273
B50R _{Ma}	44.06	106.09	-73.93	129.32	325
N _{Ma}	10.99	0.0	0.0	0.0	0
W _{Ma}	95.41	0.0	0.0	0.0	0
RCIE	39.92	58.69	27.98	65.01	25
JCIE	81.26	-2.9	71.56	71.62	92
GCIE	52.23	-42.45	13.59	44.59	162
BCIE	30.57	1.35	-46.48	46.51	272

%Regularität

$g^*_{H,rel} = 46$

$g^*_{C,rel} = 65$

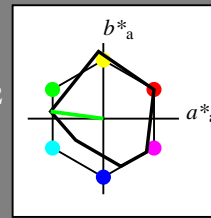


Ausgabe: Farbmatisches Reflexions-System MRS18

für Buntton $h^* = lab^*h = 172/360 = 0.479$
 lab^*tch und lab^*nch

D65: Buntton G
LCH*Ma: 52 70 172
rgb*Ma: 0.0 1.0 0.0

Dreiecks-Helligkeit



%Umfang

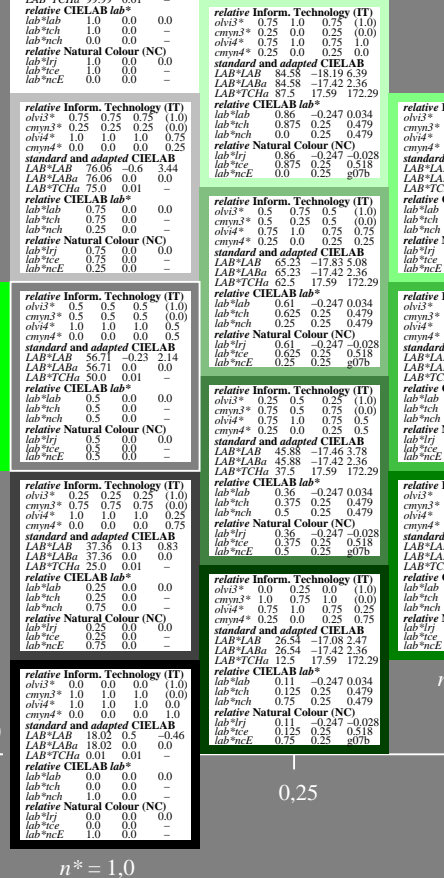
$u^*_{rel} = 91$

	$L^* = L^*_a$	a^*_a	b^*_a	$C^*_{ab,a}$	$h^*_{ab,a}$
RMa	49.63	66.96	38.37	77.18	30
JMa	90.7	-6.36	88.75	88.98	94
GMa	52.11	-69.73	9.44	70.37	172
G50B _{Ma}	45.03	-36.57	-28.47	46.36	218
B _{Ma}	36.65	23.19	-63.05	67.18	290
B50R _{Ma}	34.94	57.17	-44.26	72.31	322
N _{Ma}	18.01	0.0	0.0	0.0	0
W _{Ma}	95.41	0.0	0.0	0.0	0
RCIE	39.92	58.66	26.98	64.56	25
JCIE	81.26	-2.17	67.76	67.79	92
GCIE	52.23	-42.26	11.75	43.87	164
BCIE	30.57	1.15	-46.84	46.87	271

%Regularität

$g^*_{H,rel} = 41$

$g^*_{C,rel} = 52$



TG480-7, 5 stufige Reihen für konstanten CIELAB Buntton 167/360 = 0.465 (links)

5 stufige Reihen für konstanten CIELAB Buntton 172/360 = 0.479 (rechts)

BAM-Prüfvorlage TG48; Farbmeter-Systeme ORS18 & ORS18 input: $olv^* setrgbcolor$

D65: 5stufige Farbreihen und Koordinaten-Daten für 10 Bunttöneoutput: *Startup (S) data dependend*

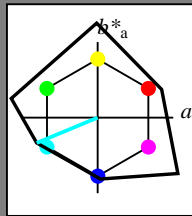
Eingabe: Farbmetrisches Reflexions-System NCS11

für Buntton $h^* = lab^*h = 203/360 = 0.563$

lab^*tch und lab^*nch

D65: Buntton G50B
LCH*Ma: 59 87 203
rgb*Ma: 0.0 1.0 1.0

Dreiecks-Helligkeit

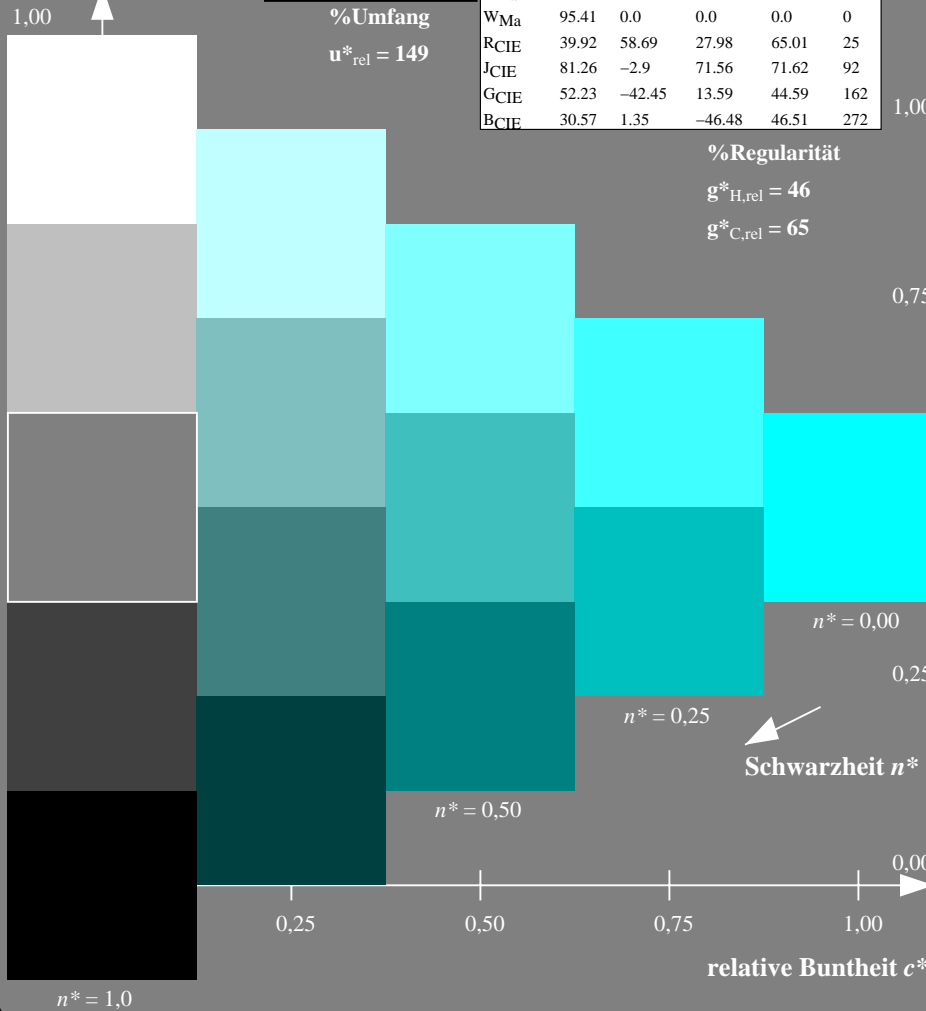


NCS11; adaptierte CIELAB-Daten table with columns L*, a*a, b*a, C*ab,a, h*ab,a and rows RMa, JMa, GMa, G50BMa, BMa, B50RMa, NMa, WMa, RCIE, JCIE, GCIE, BCIE.

%Regularität

g*H,rel = 46

g*C,rel = 65



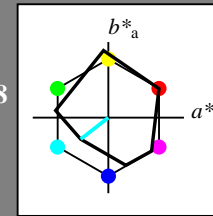
Ausgabe: Farbmetrisches Reflexions-System MRS18

für Buntton $h^* = lab^*h = 218/360 = 0.605$

lab^*tch und lab^*nch

D65: Buntton G50B
LCH*Ma: 45 46 218
rgb*Ma: 0.0 1.0 1.0

Dreiecks-Helligkeit

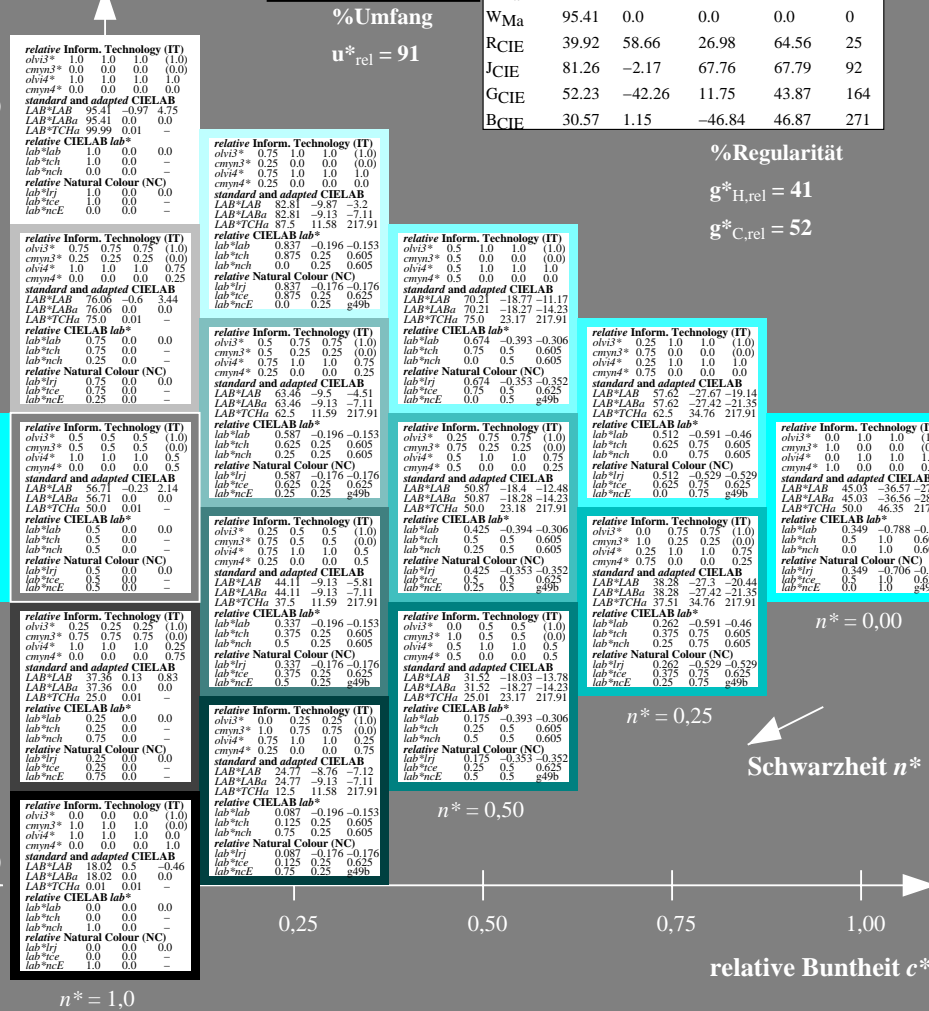


MRS18; adaptierte CIELAB-Daten table with columns L*, a*a, b*a, C*ab,a, h*ab,a and rows RMa, JMa, GMa, G50BMa, BMa, B50RMa, NMa, WMa, RCIE, JCIE, GCIE, BCIE.

%Regularität

g*H,rel = 41

g*C,rel = 52



TG480-7, 5stufige Reihen für konstanten CIELAB Buntton 203/360 = 0.563 (links)

5 stufige Reihen für konstanten CIELAB Buntton 218/360 = 0.605 (rechts)

BAM-Prüfvorlage TG48; Farbmetrik-Systeme ORS18 & ORS18 input: $olv^*setrgbcolor$

D65: 5stufige Farbreihen und Koordinaten-Daten für 10 Bunttöneoutput: Startup (S) data dependend

Siehe ähnliche Dateien: http://www.ps.bam.de/TG48/ Technische Information: http://www.ps.bam.de Version 2.1, io=1,1?

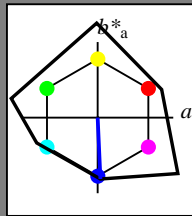
BAM-Registrierung: 20060101-TG48/10L/L48G03SP.PS/.PDF BAM-Material: Code=thakta Anwendung für Beurteilung und Messung von Drucker- oder Monitorsystemen

Eingabe: Farbmetrisches Reflexions-System NCS11

für Buntton $h^* = lab^*h = 273/360 = 0.757$
 lab^*tch und lab^*nch

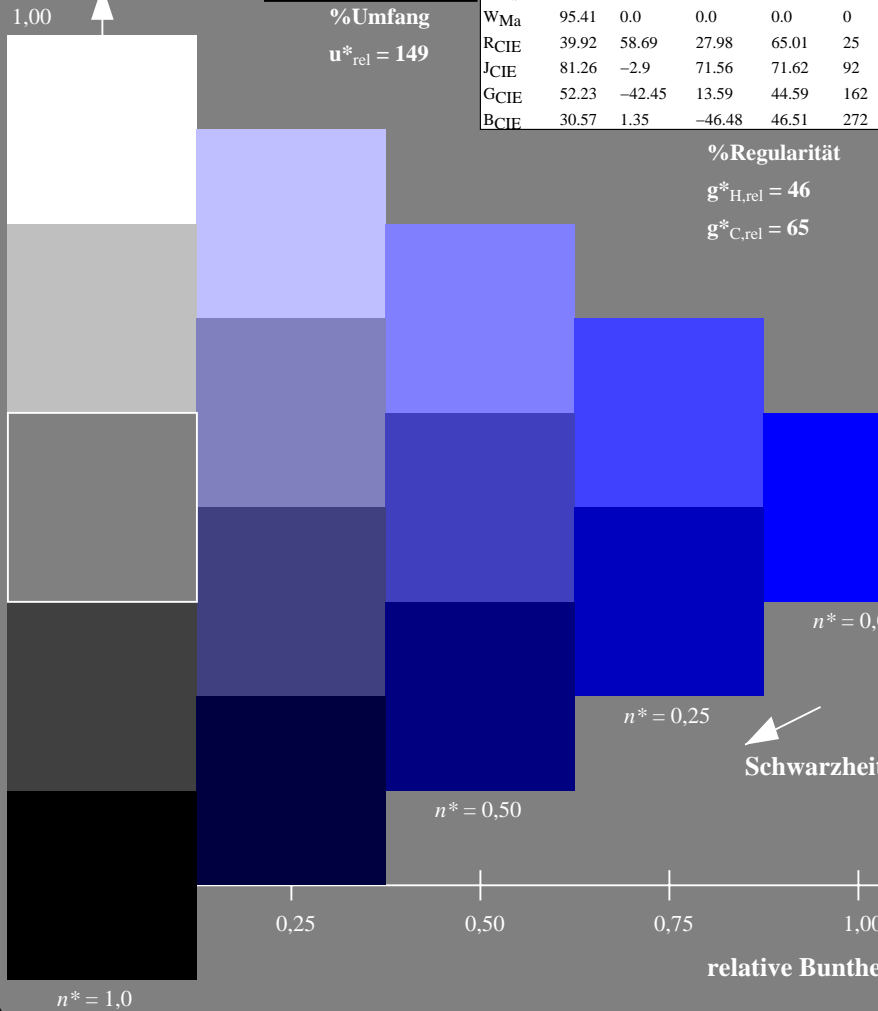
D65: Buntton B
LCH*Ma: 49 81 273
rgb*Ma: 0.0 0.0 1.0

Dreiecks-Helligkeit



%Umfang

$u^*_{rel} = 149$



NCS11; adaptierte CIELAB-Daten

	L*=L*_a	a*_a	b*_a	C*_ab,a	h*_ab,a
RMa	47.15	84.64	37.25	92.48	24
JMa	91.37	-1.27	125.03	125.03	91
GMa	63.07	-114.28	25.35	117.06	167
G50B _{Ma}	59.47	-80.6	-33.45	87.28	203
B _{Ma}	49.01	3.65	-81.19	81.28	273
B50R _{Ma}	44.06	106.09	-73.93	129.32	325
N _{Ma}	10.99	0.0	0.0	0.0	0
W _{Ma}	95.41	0.0	0.0	0.0	0
RCIE	39.92	58.69	27.98	65.01	25
JCIE	81.26	-2.9	71.56	71.62	92
GCIE	52.23	-42.45	13.59	44.59	162
BCIE	30.57	1.35	-46.48	46.51	272

%Regularität

$g^*_{H,rel} = 46$

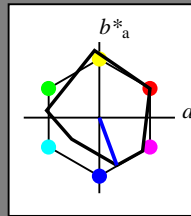
$g^*_{C,rel} = 65$

Ausgabe: Farbmetrisches Reflexions-System MRS18

für Buntton $h^* = lab^*h = 290/360 = 0.806$
 lab^*tch und lab^*nch

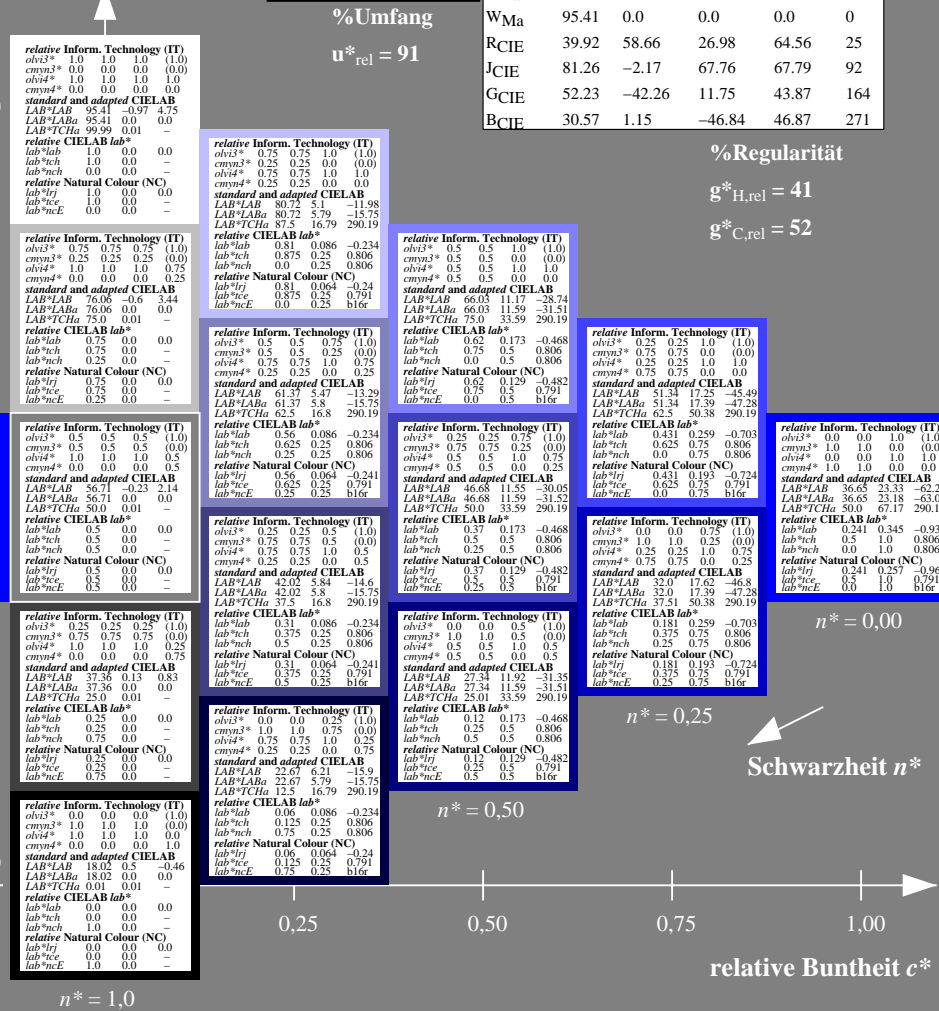
D65: Buntton B
LCH*Ma: 37 67 290
rgb*Ma: 0.0 0.0 1.0

Dreiecks-Helligkeit



%Umfang

$u^*_{rel} = 91$



MRS18; adaptierte CIELAB-Daten

	L*=L*_a	a*_a	b*_a	C*_ab,a	h*_ab,a
RMa	49.63	66.96	38.37	77.18	30
JMa	90.7	-6.36	88.75	88.98	94
GMa	52.11	-69.73	9.44	70.37	172
G50B _{Ma}	45.03	-36.57	-28.47	46.36	218
B _{Ma}	36.65	23.19	-63.05	67.18	290
B50R _{Ma}	34.94	57.17	-44.26	72.31	322
N _{Ma}	18.01	0.0	0.0	0.0	0
W _{Ma}	95.41	0.0	0.0	0.0	0
RCIE	39.92	58.66	26.98	64.56	25
JCIE	81.26	-2.17	67.76	67.79	92
GCIE	52.23	-42.26	11.75	43.87	164
BCIE	30.57	1.15	-46.84	46.87	271

%Regularität

$g^*_{H,rel} = 41$

$g^*_{C,rel} = 52$

TG480-7, 5 stufige Reihen für konstanten CIELAB Buntton 273/360 = 0.757 (links)

5 stufige Reihen für konstanten CIELAB Buntton 290/360 = 0.806 (rechts)

BAM-Prüfvorlage TG48; Farbmetrik-Systeme ORS18 & ORS18 input: $olv^* setrgbcolor$

D65: 5stufige Farbreihen und Koordinaten-Daten für 10 Bunttöneoutput: Startup (S) data dependend

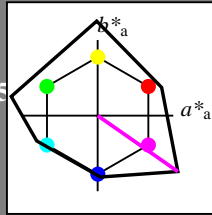
Eingabe: Farbmatisches Reflexions-System NCS11

für Buntton $h^* = lab^*h = 325/360 = 0.903$

lab^*tch und lab^*nch

D65: Buntton B50R
LCH*Ma: 44 129 325
rgb*Ma: 1.0 0.0 1.0

Dreiecks-Helligkeit



NCS11; adaptierte CIELAB-Daten

	$L^* = L^*_a$	a^*_a	b^*_a	$C^*_{ab,a}$	$h^*_{ab,a}$
RMa	47.15	84.64	37.25	92.48	24
JMa	91.37	-1.27	125.03	125.03	91
GMa	63.07	-114.28	25.35	117.06	167
G50BMa	59.47	-80.6	-33.45	87.28	203
BMa	49.01	3.65	-81.19	81.28	273
B50RMa	44.06	106.09	-73.93	129.32	325
NMa	10.99	0.0	0.0	0.0	0
WMa	95.41	0.0	0.0	0.0	0
RCIE	39.92	58.69	27.98	65.01	25
JCIE	81.26	-2.9	71.56	71.62	92
GCIE	52.23	-42.45	13.59	44.59	162
BCIE	30.57	1.35	-46.48	46.51	272

%Regularität

$g^*_{H,rel} = 46$

$g^*_{C,rel} = 65$

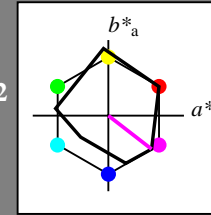
Ausgabe: Farbmatisches Reflexions-System MRS18

für Buntton $h^* = lab^*h = 322/360 = 0.895$

lab^*tch und lab^*nch

D65: Buntton B50R
LCH*Ma: 35 72 322
rgb*Ma: 1.0 0.0 1.0

Dreiecks-Helligkeit



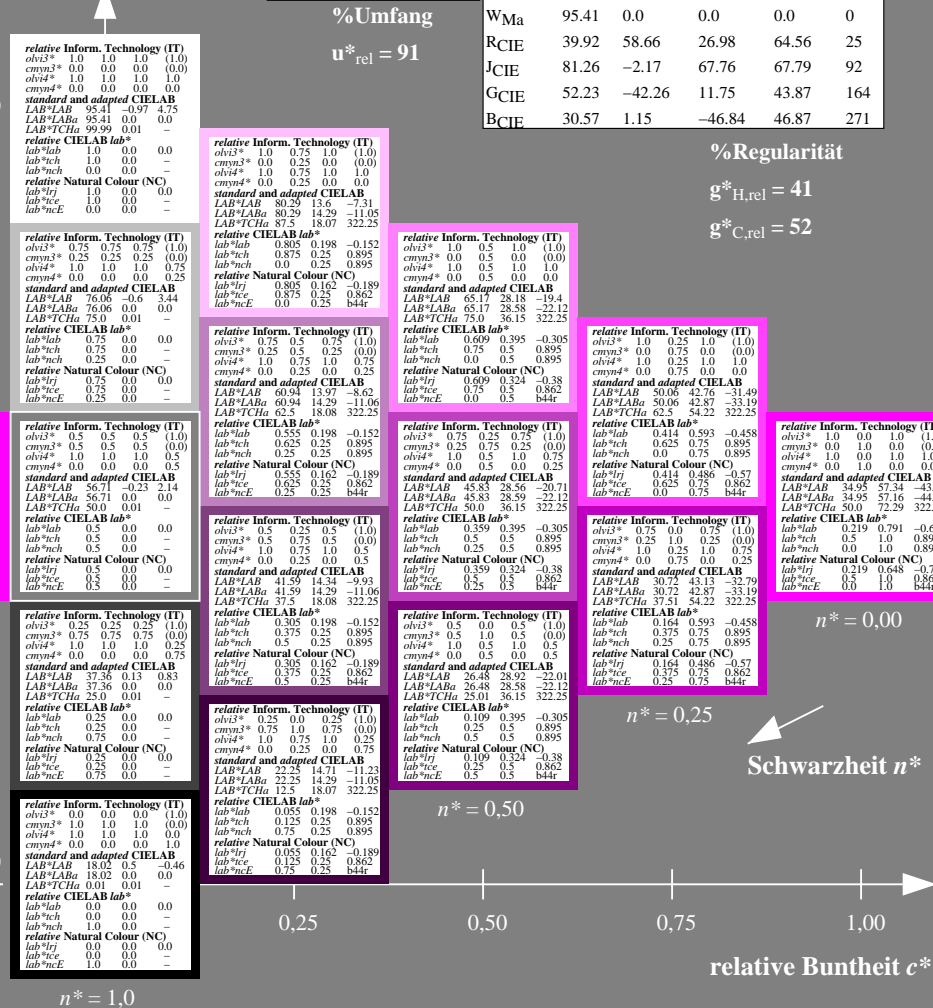
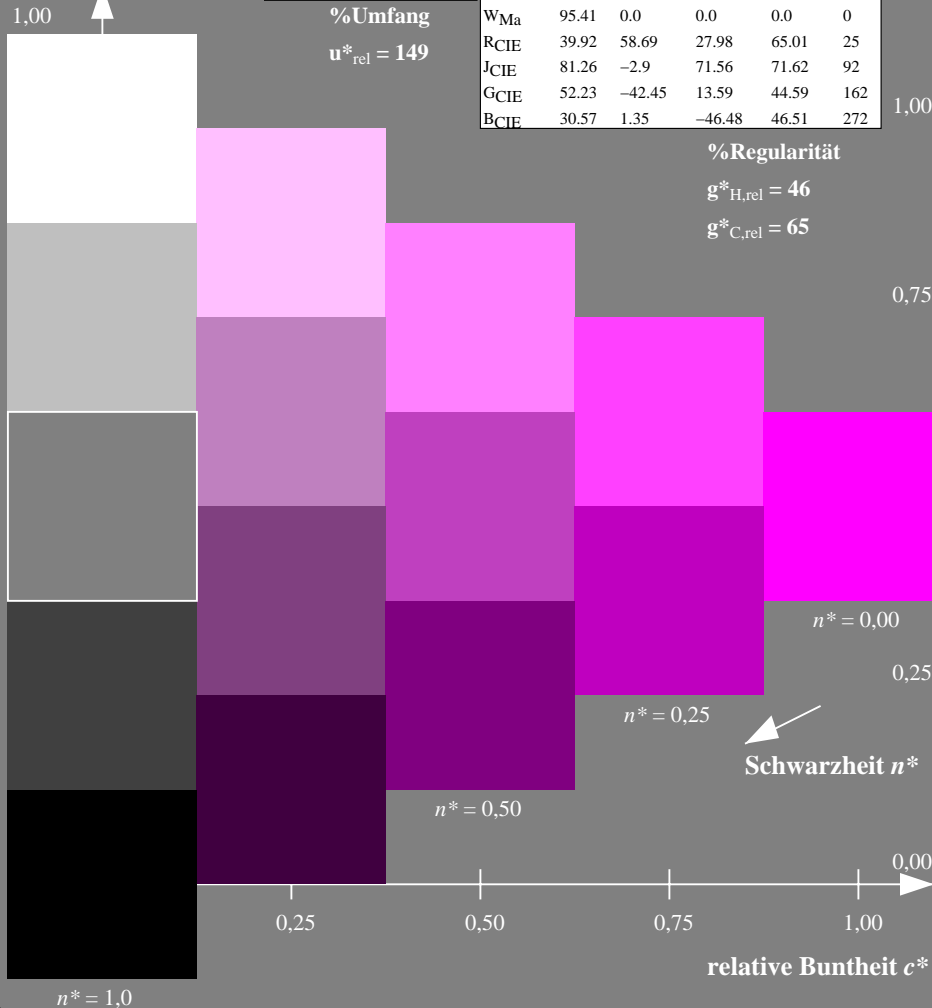
MRS18; adaptierte CIELAB-Daten

	$L^* = L^*_a$	a^*_a	b^*_a	$C^*_{ab,a}$	$h^*_{ab,a}$
RMa	49.63	66.96	38.37	77.18	30
JMa	90.7	-6.36	88.75	88.98	94
GMa	52.11	-69.73	9.44	70.37	172
G50BMa	45.03	-36.57	-28.47	46.36	218
BMa	36.65	23.19	-63.05	67.18	290
B50RMa	34.94	57.17	-44.26	72.31	322
NMa	18.01	0.0	0.0	0.0	0
WMa	95.41	0.0	0.0	0.0	0
RCIE	39.92	58.66	26.98	64.56	25
JCIE	81.26	-2.17	67.76	67.79	92
GCIE	52.23	-42.26	11.75	43.87	164
BCIE	30.57	1.15	-46.84	46.87	271

%Regularität

$g^*_{H,rel} = 41$

$g^*_{C,rel} = 52$



TG480-7, 5 stufige Reihen für konstanten CIELAB Buntton 325/360 = 0.903 (links)

5 stufige Reihen für konstanten CIELAB Buntton 322/360 = 0.895 (rechts)

BAM-Prüfvorlage TG48; Farbmatrik-Systeme ORS18 & ORS18 input: $olv^* setrgbcolor$
D65: 5stufige Farbreihen und Koordinaten-Daten für 10 Bunttöneoutput: *Startup (S) data dependend*

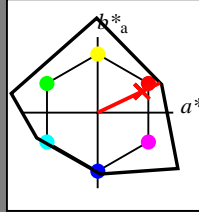
Eingabe: Farbmatisches Reflexions-System NCS11

für Bunnton $h^* = lab^*h = 25/360 = 0.071$

lab^*tch und lab^*nch

D65: Bunnton R
LCH*Ma: 48 91 25
rgb*Ma: 1.0 0.02 0.0

Dreiecks-Helligkeit



NCS11; adaptierte CIELAB-Daten table with columns L*, a*a, b*a, C*ab,a, h*ab,a and rows RMa, JMa, GMa, G50BMa, BMa, B50RMa, NMa, WMa, RCIE, JCIE, GCIE, BCIE.

%Regularität

g*H,rel = 46

g*C,rel = 65

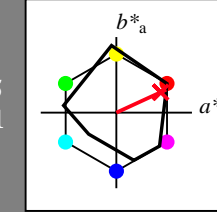
Ausgabe: Farbmatisches Reflexions-System MRS18

für Bunnton $h^* = lab^*h = 25/360 = 0.069$

lab^*tch und lab^*nch

D65: Bunnton R
LCH*Ma: 48 73 25
rgb*Ma: 1.0 0.0 0.1

Dreiecks-Helligkeit

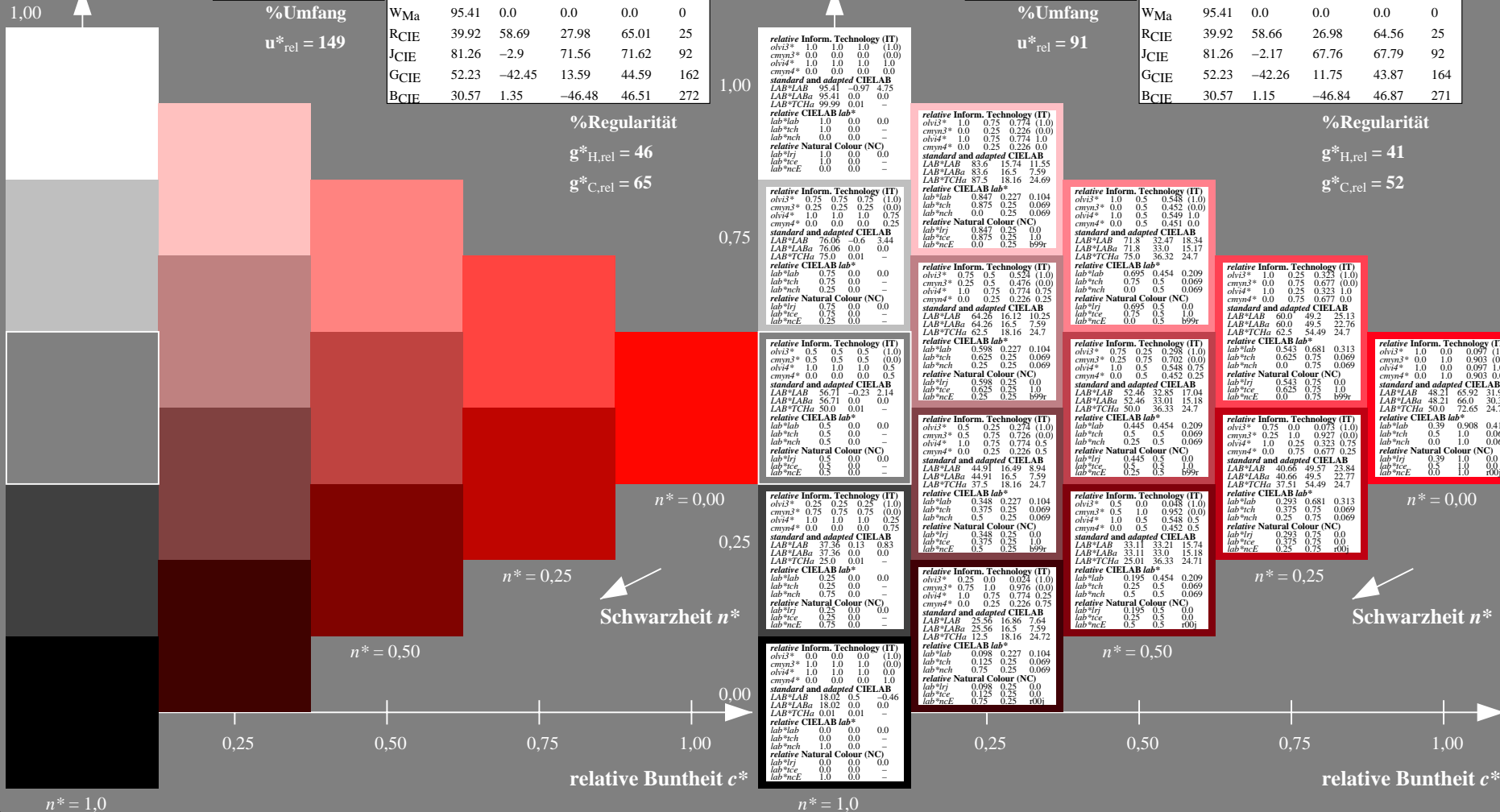


MRS18; adaptierte CIELAB-Daten table with columns L*, a*a, b*a, C*ab,a, h*ab,a and rows RMa, JMa, GMa, G50BMa, BMa, B50RMa, NMa, WMa, RCIE, JCIE, GCIE, BCIE.

%Regularität

g*H,rel = 41

g*C,rel = 52



TG480-7, 5 stufige Reihen für konstanten CIELAB Bunnton 25/360 = 0.071 (links)

5 stufige Reihen für konstanten CIELAB Bunnton 25/360 = 0.069 (rechts)

BAM-Prüfvorlage TG48; Farbmatrik-Systeme ORS18 & ORS18 input: $olv^* setrgbcolor$

D65: 5stufige Farbreihen und Koordinaten-Daten für 10 Bunttöneoutput: *Startup (S) data dependend*

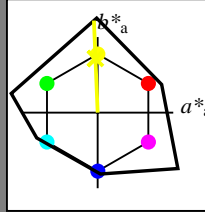
Eingabe: Farbmatisches Reflexions-System NCS11

für Bunnton $h^* = lab^*h = 92/360 = 0.256$

lab^*tch und lab^*nch

D65: Bunnton J
LCH*Ma: 90 122 92
rgb*Ma: 0.97 1.0 0.0

Dreiecks-Helligkeit



%Umfang

$u^*_{rel} = 149$

1,00

0,75

0,50

0,25

0,00

0,25

0,50

0,75

1,00

0,25

0,50

0,75

1,00

0,25

0,50

0,75

1,00

0,25

0,50

0,75

1,00

0,25

0,50

0,75

1,00

0,25

0,50

0,75

1,00

0,25

0,50

0,75

1,00

NCS11; adaptierte CIELAB-Daten

	$L^*=L^*_a$	a^*_a	b^*_a	$C^*_{ab,a}$	$h^*_{ab,a}$
RMa	47.15	84.64	37.25	92.48	24
JMa	91.37	-1.27	125.03	125.03	91
GMa	63.07	-114.28	25.35	117.06	167
G50B _{Ma}	59.47	-80.6	-33.45	87.28	203
B _{Ma}	49.01	3.65	-81.19	81.28	273
B50R _{Ma}	44.06	106.09	-73.93	129.32	325
N _{Ma}	10.99	0.0	0.0	0.0	0
W _{Ma}	95.41	0.0	0.0	0.0	0
RCIE	39.92	58.69	27.98	65.01	25
JCIE	81.26	-2.9	71.56	71.62	92
GCIE	52.23	-42.45	13.59	44.59	162
BCIE	30.57	1.35	-46.48	46.51	272

%Regularität

$g^*_{H,rel} = 46$

$g^*_{C,rel} = 65$

1,00

0,75

0,50

0,25

0,00

0,25

0,50

0,75

1,00

0,25

0,50

0,75

1,00

0,25

0,50

0,75

1,00

0,25

0,50

0,75

1,00

0,25

0,50

0,75

1,00

0,25

0,50

0,75

1,00

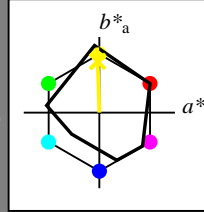
Ausgabe: Farbmatisches Reflexions-System MRS18

für Bunnton $h^* = lab^*h = 92/360 = 0.255$

lab^*tch und lab^*nch

D65: Bunnton J
LCH*Ma: 89 86 92
rgb*Ma: 1.0 0.95 0.0

Dreiecks-Helligkeit



%Umfang

$u^*_{rel} = 91$

1,00

0,75

0,50

0,25

0,00

0,25

0,50

0,75

1,00

0,25

0,50

0,75

1,00

0,25

0,50

0,75

1,00

0,25

0,50

0,75

1,00

0,25

0,50

0,75

1,00

0,25

0,50

0,75

1,00

0,25

0,50

0,75

1,00

MRS18; adaptierte CIELAB-Daten

	$L^*=L^*_a$	a^*_a	b^*_a	$C^*_{ab,a}$	$h^*_{ab,a}$
RMa	49.63	66.96	38.37	77.18	30
JMa	90.7	-6.36	88.75	88.98	94
GMa	52.11	-69.73	9.44	70.37	172
G50B _{Ma}	45.03	-36.57	-28.47	46.36	218
B _{Ma}	36.65	23.19	-63.05	67.18	290
B50R _{Ma}	34.94	57.17	-44.26	72.31	322
N _{Ma}	18.01	0.0	0.0	0.0	0
W _{Ma}	95.41	0.0	0.0	0.0	0
RCIE	39.92	58.66	26.98	64.56	25
JCIE	81.26	-2.17	67.76	67.79	92
GCIE	52.23	-42.26	11.75	43.87	164
BCIE	30.57	1.15	-46.84	46.87	271

%Regularität

$g^*_{H,rel} = 41$

$g^*_{C,rel} = 52$

1,00

0,75

0,50

0,25

0,00

0,25

0,50

0,75

1,00

0,25

0,50

0,75

1,00

0,25

0,50

0,75

1,00

0,25

0,50

0,75

1,00

0,25

0,50

0,75

1,00

0,25

0,50

0,75

1,00

0,25

0,50

0,75

1,00

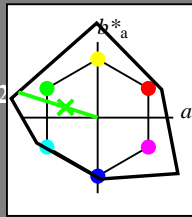
Eingabe: Farbmatisches Reflexions-System NCS11

für Buntton $h^* = lab^*h = 162/360 = 0.451$

lab^*tch und lab^*nch

D65: Buntton G
LCH*Ma: 65 110 162
rgb*Ma: 0.08 1.0 0.0

Dreiecks-Helligkeit



NCS11; adaptierte CIELAB-Daten

	$L^* = L^*_a$	a^*_a	b^*_a	$C^*_{ab,a}$	$h^*_{ab,a}$
RMa	47.15	84.64	37.25	92.48	24
JMa	91.37	-1.27	125.03	125.03	91
GMa	63.07	-114.28	25.35	117.06	167
G50B _{Ma}	59.47	-80.6	-33.45	87.28	203
B _{Ma}	49.01	3.65	-81.19	81.28	273
B50R _{Ma}	44.06	106.09	-73.93	129.32	325
N _{Ma}	10.99	0.0	0.0	0.0	0
W _{Ma}	95.41	0.0	0.0	0.0	0
RCIE	39.92	58.69	27.98	65.01	25
JCIE	81.26	-2.9	71.56	71.62	92
GCIE	52.23	-42.45	13.59	44.59	162
BCIE	30.57	1.35	-46.48	46.51	272

%Regularität

$g^*_{H,rel} = 46$

$g^*_{C,rel} = 65$

1,00

0,75

0,25

0,00

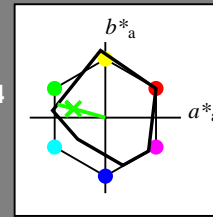
Ausgabe: Farbmatisches Reflexions-System MRS18

für Buntton $h^* = lab^*h = 164/360 = 0.457$

lab^*tch und lab^*nch

D65: Buntton G
LCH*Ma: 56 66 164
rgb*Ma: 0.1 1.0 0.0

Dreiecks-Helligkeit



%Umfang

$u^*_{rel} = 91$

MRS18; adaptierte CIELAB-Daten

	$L^* = L^*_a$	a^*_a	b^*_a	$C^*_{ab,a}$	$h^*_{ab,a}$
RMa	49.63	66.96	38.37	77.18	30
JMa	90.7	-6.36	88.75	88.98	94
GMa	52.11	-69.73	9.44	70.37	172
G50B _{Ma}	45.03	-36.57	-28.47	46.36	218
B _{Ma}	36.65	23.19	-63.05	67.18	290
B50R _{Ma}	34.94	57.17	-44.26	72.31	322
N _{Ma}	18.01	0.0	0.0	0.0	0
W _{Ma}	95.41	0.0	0.0	0.0	0
RCIE	39.92	58.66	26.98	64.56	25
JCIE	81.26	-2.17	67.76	67.79	92
GCIE	52.23	-42.26	11.75	43.87	164
BCIE	30.57	1.15	-46.84	46.87	271

%Regularität

$g^*_{H,rel} = 41$

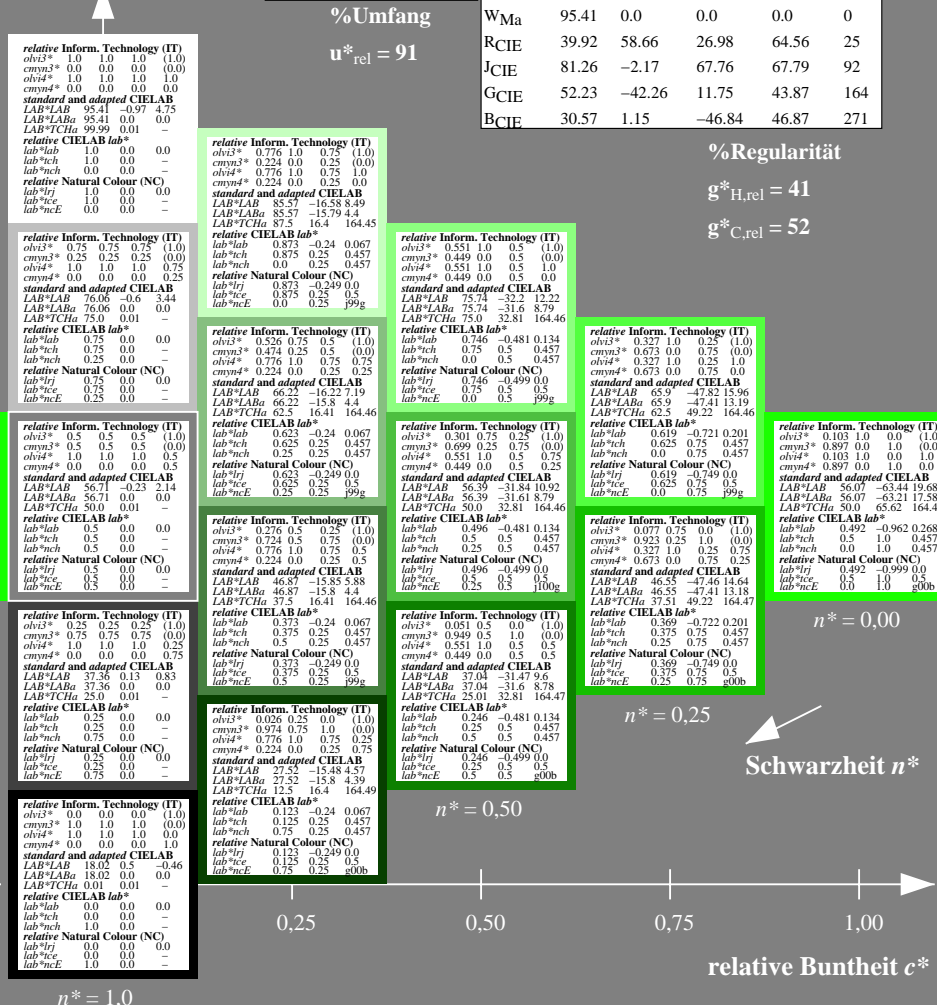
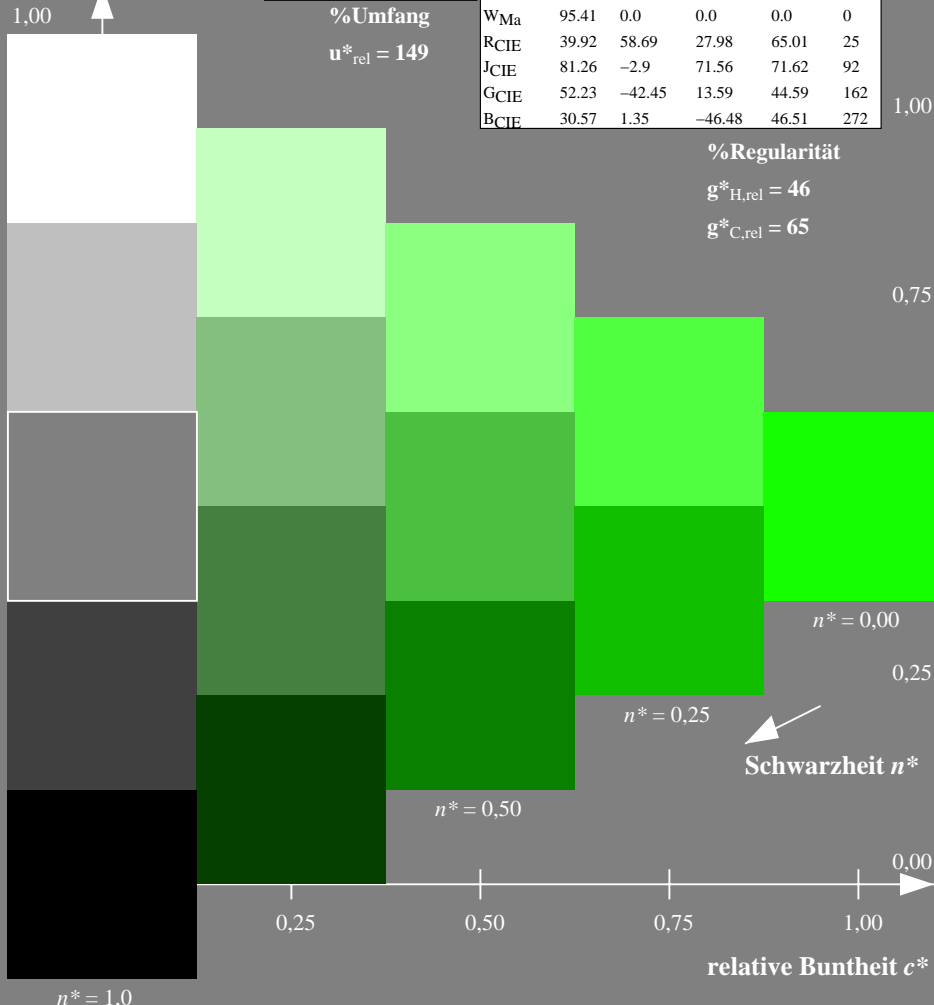
$g^*_{C,rel} = 52$

1,00

0,75

0,25

0,00



TG480-7, 5 stufige Reihen für konstanten CIELAB Buntton 162/360 = 0.451 (links)

5 stufige Reihen für konstanten CIELAB Buntton 164/360 = 0.457 (rechts)

BAM-Prüfvorlage TG48; Farbmatrik-Systeme ORS18 & ORS18 input: $olv^* setrgbcolor$

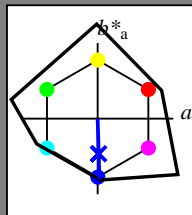
D65: 5stufige Farbreihen und Koordinaten-Daten für 10 Bunttöneoutput: Startup (S) data dependend

Eingabe: Farbmatisches Reflexions-System NCS11

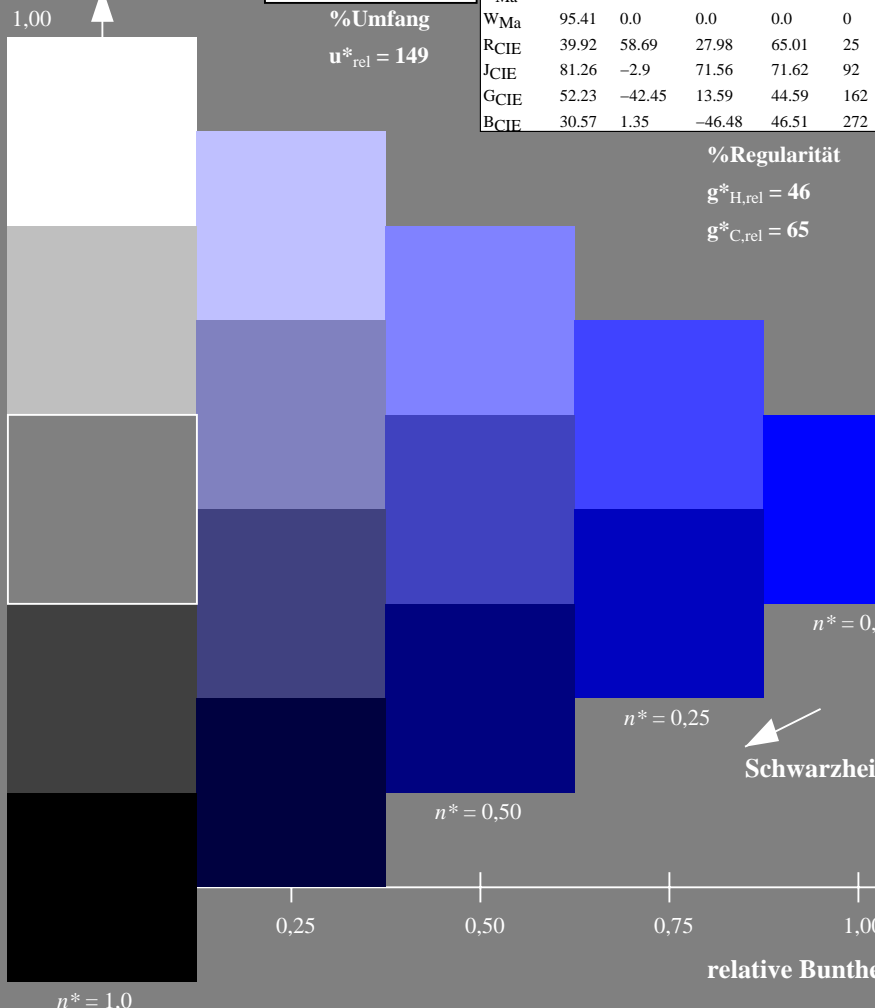
für Buntton $h^* = lab^*h = 272/360 = 0.755$
 lab^*tch und lab^*nch

D65: Buntton B
 LCH*Ma: 49 80 272
 rgb*Ma: 0.0 0.02 1.0

Dreiecks-Helligkeit



$u^*_{rel} = 149$



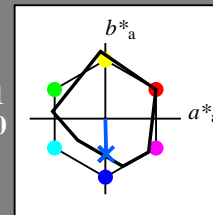
TG480-7, 5stufige Reihen für konstanten CIELAB Buntton 272/360 = 0.755 (links)

Ausgabe: Farbmatisches Reflexions-System MRS18

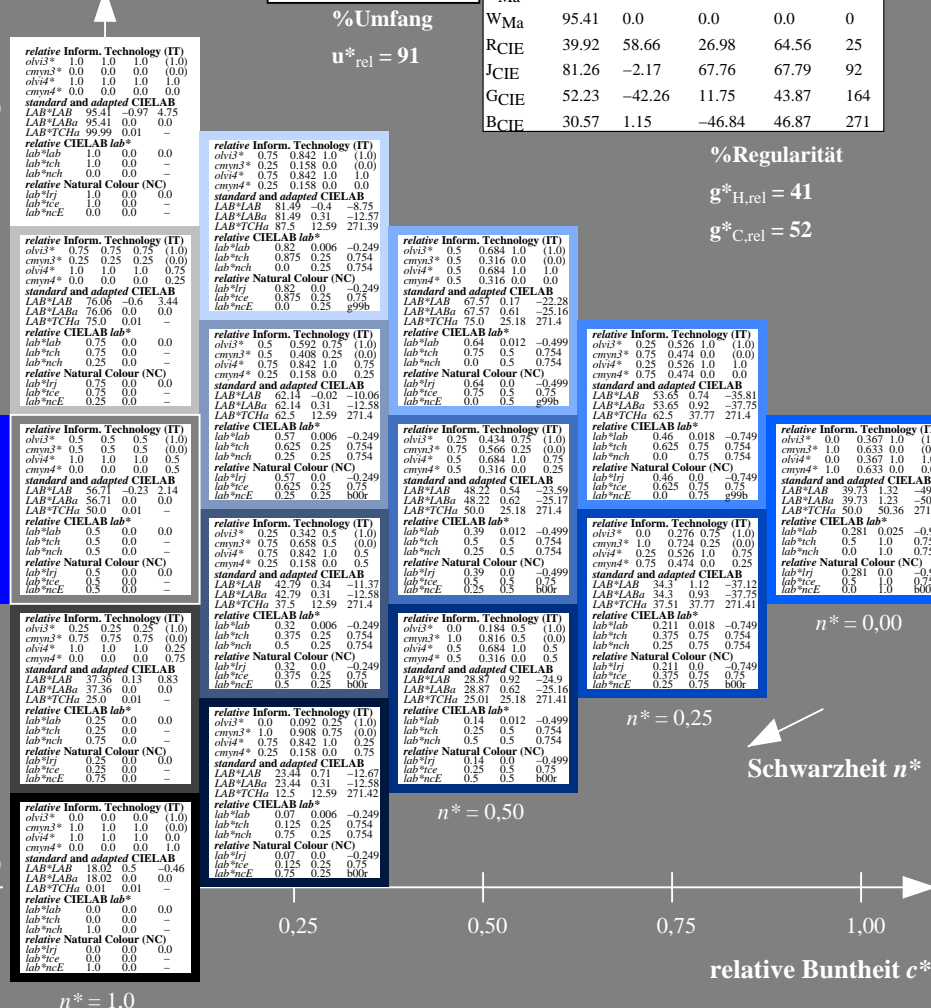
für Buntton $h^* = lab^*h = 271/360 = 0.754$
 lab^*tch und lab^*nch

D65: Buntton B
 LCH*Ma: 40 50 271
 rgb*Ma: 0.0 0.37 1.0

Dreiecks-Helligkeit



$u^*_{rel} = 91$



5stufige Reihen für konstanten CIELAB Buntton 271/360 = 0.754 (rechts)

NCS11; adaptierte CIELAB-Daten

	$L^* = L^*_a$	a^*_a	b^*_a	$C^*_{ab,a}$	$h^*_{ab,a}$
RMa	47.15	84.64	37.25	92.48	24
JMa	91.37	-1.27	125.03	125.03	91
GMa	63.07	-114.28	25.35	117.06	167
G50B _{Ma}	59.47	-80.6	-33.45	87.28	203
B _{Ma}	49.01	3.65	-81.19	81.28	273
B50R _{Ma}	44.06	106.09	-73.93	129.32	325
N _{Ma}	10.99	0.0	0.0	0.0	0
W _{Ma}	95.41	0.0	0.0	0.0	0
RCIE	39.92	58.69	27.98	65.01	25
JCIE	81.26	-2.9	71.56	71.62	92
GCIE	52.23	-42.45	13.59	44.59	162
BCIE	30.57	1.35	-46.48	46.51	272

%Regularität

$g^*_{H,rel} = 46$

$g^*_{C,rel} = 65$

1.00

0.75

0.25

$n^* = 0.00$

$n^* = 0.25$

$n^* = 0.50$

$n^* = 1.00$

relative Buntheit c^*

relative Inform. Technology (IT)

$olvi3^*$	1.0	1.0	1.0	(1.0)
$cmyn3^*$	0.0	0.0	0.0	(0.0)
$olvi4^*$	1.0	1.0	1.0	1.0
$cmyn4^*$	0.0	0.0	0.0	0.0

standard and adapted CIELAB

LAB*LAB	95.41	-0.97	4.75
LAB*LABa	95.41	0.0	0.0
LAB*TC _{Ma}	99.99	0.01	-

relative CIELAB lab*

lab*lab	1.0	0.0	0.0
lab*tch	1.0	0.0	-
lab*nch	0.0	0.0	-
lab*trj	1.0	0.0	0.0
lab*tce	1.0	0.0	-
lab*nce	0.0	0.0	-

relative Natural Colour (NC)

lab*trj	1.0	0.0	0.0
lab*tce	1.0	0.0	-
lab*nce	0.0	0.0	-

relative Inform. Technology (IT)

$olvi3^*$	0.75	0.75	0.75	(1.0)
$cmyn3^*$	0.25	0.25	0.25	(0.0)
$olvi4^*$	1.0	1.0	1.0	0.75
$cmyn4^*$	0.0	0.0	0.0	0.25

standard and adapted CIELAB

LAB*LAB	76.06	-0.6	3.44
LAB*LABa	76.06	0.0	0.0
LAB*TC _{Ma}	75.0	0.01	-

relative CIELAB lab*

lab*lab	0.5	0.75	0.75	(1.0)
lab*tch	0.75	0.0	-	(0.0)
lab*nch	0.25	0.0	-	(0.0)
lab*trj	0.75	0.0	0.0	-
lab*tce	0.75	0.0	0.0	-
lab*nce	0.25	0.0	0.0	-

relative Natural Colour (NC)

lab*trj	0.75	0.0	0.0	-
lab*tce	0.75	0.0	0.0	-
lab*nce	0.25	0.0	0.0	-

relative Inform. Technology (IT)

$olvi3^*$	0.5	0.5	0.5	(0.0)
$cmyn3^*$	0.5	0.5	0.5	(0.0)
$olvi4^*$	1.0	1.0	1.0	0.5
$cmyn4^*$	0.0	0.0	0.0	0.5

standard and adapted CIELAB

LAB*LAB	56.71	0.23	2.14
LAB*LABa	56.71	0.0	0.0
LAB*TC _{Ma}	50.0	0.01	-

relative CIELAB lab*

lab*lab	0.5	0.5	0.5	(0.0)
lab*tch	0.5	0.0	-	(0.0)
lab*nch	0.5	0.0	-	(0.0)
lab*trj	0.5	0.0	0.0	-
lab*tce	0.5	0.0	0.0	-
lab*nce	0.5	0.0	0.0	-

relative Natural Colour (NC)

lab*trj	0.5	0.0	0.0	-
lab*tce	0.5	0.0	0.0	-
lab*nce	0.5	0.0	0.0	-

relative Inform. Technology (IT)

$olvi3^*$	0.25	0.25	0.25	(1.0)
$cmyn3^*$	0.75	0.75	0.75	(0.0)
$olvi4^*$	1.0	1.0	1.0	0.25
$cmyn4^*$	0.0	0.0	0.0	0.75

standard and adapted CIELAB

LAB*LAB	37.36	0.13	0.83
LAB*LABa	37.36	0.0	0.0
LAB*TC _{Ma}	25.0	0.01	-

relative CIELAB lab*

lab*lab	0.25	0.25	0.25	(0.0)
lab*tch	0.25	0.0	-	(0.0)
lab*nch	0.25	0.0	-	(0.0)
lab*trj	0.25	0.0	0.0	-
lab*tce	0.25	0.0	0.0	-
lab*nce	0.25	0.0	0.0	-

relative Natural Colour (NC)

lab*trj	0.25	0.0	0.0	-
lab*tce	0.25	0.0	0.0	-
lab*nce	0.25	0.0	0.0	-

relative Inform. Technology (IT)

$olvi3^*$	0.0	0.0	0.0	(1.0)
$cmyn3^*$	1.0	1.0	1.0	(0.0)
$olvi4^*$	1.0	1.0	1.0	0.0
$cmyn4^*$	0.0	0.0	0.0	1.0

standard and adapted CIELAB

LAB*LAB	18.02	0.5	0.46
LAB*LABa	18.02	0.0	0.0
LAB*TC _{Ma}	0.01	0.01	-

relative CIELAB lab*

lab*lab	0.0	0.0	0.0	(0.0)
lab*tch	0.0	0.0	-	(0.0)
lab*nch	0.0	0.0	-	(0.0)
lab*trj	0.0	0.0	0.0	-
lab*tce	0.0	0.0	0.0	-
lab*nce	1.0	0.0	0.0	-

relative Natural Colour (NC)

lab*trj	0.0	0.0	0.0	-
lab*tce	0.0	0.0	0.0	-
lab*nce	1.0	0.0	0.0	-

relative Inform. Technology (IT)

$olvi3^*$	0.75	0.842	1.0	(1.0)
$cmyn3^*$	0.25	0.158	0.0	(0.0)
$olvi4^*$	0.75	0.842	1.0	1.0
$cmyn4^*$	0.25	0.158	0.0	0.0

standard and adapted CIELAB

LAB*LAB	81.49	-0.4	-8.75
LAB*LABa	81.49	0.31	12.57
LAB*TC _{Ma}	87.5	12.59	271.39

relative CIELAB lab*

lab*lab	0.64	0.012	-0.249
lab*tch	0.875	0.25	0.754
lab*nch	0.0	0.25	0.754
lab*trj	0.82	0.0	-0.249
lab*tce	0.875	0.25	0.754
lab*nce	0.0	0.25	0.754

relative Natural Colour (NC)

lab*trj	0.64	0.0	-0.249
lab*tce	0.875	0.25	0.754
lab*nce	0.0	0.25	0.754

relative Inform. Technology (IT)

$olvi3^*$	0.5	0.592	0.75	(1.0)
$cmyn3^*$	0.5	0.408	0.25	(0.0)
$olvi4^*$	0.75	0.842	1.0	0.75
$cmyn4^*$	0.25	0.158	0.0	0.25

standard and adapted CIELAB

LAB*LAB	62.14	-0.02	-10.06
LAB*LABa	62.14	0.31	12.58
LAB*TC _{Ma}	62.5	12.59	271.4

relative CIELAB lab*

lab*lab	0.57	0.006	-0.249
lab*tch	0.625	0.25	0.754
lab*nch	0.25	0.25	0.754
lab*trj	0.57	0.0	-0.249
lab*tce	0.625	0.25	0.754
lab*nce	0.25	0.25	0.754

relative Natural Colour (NC)

lab*trj	0.57	0.0	-0.249
lab*tce	0.625	0.25	0.754
lab*nce	0.25	0.25	0.754

relative Inform. Technology (IT)

$olvi3^*$	0.25	0.434	0.75	(1.0)
$cmyn3^*$	0.75	0.566	0.25	(0.0)
$olvi4^*$	0.5	0.684	1.0	0.75
$cmyn4^*$	0.5	0.316	0.0	0.25

standard and adapted CIELAB

LAB*LAB	48.22	0.54	-23.59
LAB*LABa	48.22	0.62	-25.17
LAB*TC _{Ma}	50.0	25.18	271.4

relative CIELAB lab*

lab*lab	0.29	0.012	-0.499
lab*tch	0.5	0.5	0.754
lab*nch	0.25	0.5	0.754
lab*trj	0.29	0.0	-0.499
lab*tce	0.5	0.5	0.754
lab*nce	0.25	0.5	0.754

relative Natural Colour (NC)

lab*trj	0.29	0.0	-0.499
lab*tce	0.5	0.5	0.754
lab*nce	0.25	0.5	0.754

relative Inform. Technology (IT)

$olvi3^*$	0.0	0.184	0.5	(1.0)
$cmyn3^*$	1.0	0.816	0.5	(0.0)
$olvi4^*$	0.5	0.684	1.0	0.5
$cmyn4^*$	0.5	0.316	0.0	0.5

standard and adapted CIELAB

LAB*LAB	34.112	-37.12	37.12
LAB*LABa	34.3	0.93	-37.75
LAB*TC _{Ma}	37.51	37.77	271.41

relative CIELAB lab*

lab*lab	0.14	0.012	-0.499
lab*tch	0.375	0.75	0.754
lab*nch	0.25	0.75	0.754
lab*trj	0.14	0.0	-0.499
lab*tce	0.375	0.75	0.754
lab*nce	0.25	0.75	0.754

relative Natural Colour (NC)

lab*trj	0.14	0.0	-0.499
lab*tce	0.375	0.75	0.754
lab*nce	0.25	0.75	0.754

relative Inform. Technology (IT)

$olvi3^*$	0.0	0.092	0.25	(1.0)
$cmyn3^*$	1.0	0.908	0.75	(0.0)
$olvi4^*$	0.8	0.8	0.5	0.754
$cmyn4^*$	0.25	0.158	0.0	0.75

standard and adapted CIELAB

LAB*LAB	23.44	0.31	-12.58
LAB*LABa	23.44	0.31	-12.58
LAB*TC _{Ma}	12.5	12.59	271.42

relative CIELAB lab*

lab*lab	0.07	0.006	-0.249
lab*tch	0.125	0.25	0.754
lab*nch	0.07	0.25	0.754
lab*trj	0.07	0.0	-0.249
lab*tce	0.125	0.25	0.754
lab*nce	0.07	0.25	0.754

relative Natural Colour (NC)

lab*trj	0.07	0.0	-0.249
lab*tce	0.125	0.25	0.754
lab*nce	0.07	0.25	0.754

relative Inform. Technology (IT)

$olvi3^*$	0.5	0.684	1.0	(1.0)
$cmyn3^*$	0.5	0.316	0.0	(0.0)
$olvi4^*$	0.5	0.684	1.0	1.0
$cmyn4^*$	0.5	0.316	0.0	0.0

standard and adapted CIELAB

LAB*LAB	67.57	0.17	-22.28
LAB*LABa	67.57	0.61	-25.16
LAB*TC _{Ma}	75.0	25.18	271.4

relative CIELAB lab*

lab*lab	0.64	0.012	-0.499
lab*tch	0.75	0.5	0.754
lab*nch	0.0	0.5	0.754
lab*trj	0.64	0.0	-0.499
lab*tce	0.75	0.5	0.754
lab*nce	0.0	0.5	0.754

relative Natural Colour (NC)

lab*trj	0.64	0.0	-0.499
lab*tce	0.75	0.5	0.754
lab*nce	0.0	0.5	0.754

relative Inform. Technology (IT)

$olvi3^*$	0.25	0.526	1.0	(1.0)
$cmyn3^*$	0.75	0.474	0.0	(0.0)
$olvi4^*$	0.25	0.526	1.0	1.0
$cmyn4^*$	0.75	0.474	0.0	0.0

standard and adapted CIELAB

LAB*LAB	53.65	0.74	-35.81
LAB*LABa	53.65	0.92	-37.75
LAB*TC _{Ma}	62.5	37.77	271.4

relative CIELAB lab*

lab*lab	0.46	0.018	-0.749